

بررسی شرایط غیر رسوپ گذار در سیفون معکوس کرخه با استفاده از مدل فیزیکی

حسین خزیمه نژاد^{۱*} و محمود شفاعی بجستان^۲

(۱) دانشجوی دکتری، دانشگاه شهید چمران اهواز، گروه سازه‌های آبی.

(۲) استاد، دانشگاه شهید چمران اهواز، گروه سازه‌های آبی.

*نويسنده مسئول مکاتبات: Hkh_59@yahoo.com

تاریخ پذیرش: 28/08/90

تاریخ دریافت: 20/06/90

چکیده

نهشته شدن رسوپ در سازه‌های انتقال آب، از قبیل سیفون‌های معکوس، باعث کاهش سطح مقطع جریان و نیز افزایش زبری می‌شود که درنتیجه، کاهش آبدهی سازه را به دنبال خواهد داشت. از جمله روش‌های جلوگیری از نهشته شدن رسوپ و یا خروج آنها، ایجاد شرایط غیر رسوپ گذار، در سازه می‌باشد. با توجه به این‌که بحرانی‌ترین قسمت سیفون معکوس، از لحاظ نهشته شدن رسوپ، مجرای خروجی است، در تحقیق حاضر، ابتدا با استفاده از آتالیز ابعادی، یک رابطه‌ی کلی، برای آستانه حرکت ایجاد شد که مرز شرایط غیر رسوپ گذار، در مجرای خروجی سیفون معکوس کرخه می‌باشد. سپس، با استفاده از یک مدل فیزیکی، از مجرای خروجی سیفون معکوس کرخه و نیز ۵ نمونه رسوپ غیر چسبنده با ابعاد $0.0/7 \times 0.0/5 \times 0.2/3$ میلی‌متر، آزمایش‌های لازم انجام گرفت و در نتیجه یک گراف کاربردی، جهت بررسی شرایط غیر رسوپ گذار، در مجرای خروجی سیفون معکوس کرخه، استخراج گردید. با استفاده از این گراف و نیز منحنی توزیع دانه‌بندی مواد معلق رودخانه کرخه، در محل سد انحرافی حمیدیه، حداقل سرعت غیر رسوپ گذار یا همان حداقل سرعت عدم تمدنی ذره‌ای، به قطر $1/5$ میلی‌متر که بزرگ‌ترین ذره رسوپ ورودی به کanal بالادست سیفون معکوس کرخه از محل سد انحرافی حمیدیه می‌باشد، تعیین گردید. نتایج تحقیق، حاکی از حاکم بودن شرایط غیر رسوپ گذار در سیفون معکوس کرخه در دبی و سرعت طراحی می‌باشد.

واژه‌های کلیدی: شرایط غیر رسوپ گذار، مدل فیزیکی، سیفون معکوس کرخه.

مقدمه

موضوع رسوب و انتقال آن و نیز مشکلات ناشی از وجود آن در سازه‌های آبی، موضوعی است که سال‌ها، مورد مطالعه مهندسین و مورفولوژیست‌های رودخانه بوده است. نهشته‌شدن رسوب در سازه‌های انتقال آب، نظیر کانال‌ها، باعث ایجاد مشکلاتی هم چون کاهش ظرفیت، کاهش سرعت و به طور کلی کاهش راندمان سازه می‌شود. هم‌چنین بخشی از سازه‌های انتقال در شبکه‌های آب رسانی به صورت بسته و با فشار کم وجود دارند که از نمونه‌های بارز آن می‌توان به سیفون معکوس و زیرگذر جاده اشاره کرد. نهشته‌شدن رسوب در مجاری این سازه‌ها، باعث کاهش سطح مقطع جریان و نیز افزایش زبری می‌شود که در نتیجه، کاهش ظرفیت انتقال سازه را به دنبال خواهد داشت و باعث خواهد شد تا در دبی طراحی، پس‌زدگی جریان آب به وجود آمده و در نتیجه خسارت زیادی به کانال بالادست وارد خواهد شد. به منظور عمل کرد صحیح این‌گونه سازه‌ها، ضروری است تا طراحی به گونه‌ای انجام گیرد که از تجمع رسوب در مسیر انتقال آب جلوگیری کند و در صورت نهشته شدن، با ایجاد شرایط لازم بتوان رسوبات را تخلیه نمود. به اعتقاد May در سال ۱۹۹۶ یکی از روش‌های جلوگیری از نهشته شدن رسوب در مجاری، اعمال شرایط غیر رسوب‌گذار یا ایجاد شرایطی است که در آن، رسوبات همراه جریان، فرصت تنهی‌نی نداشته باشند. از جمله‌ی روش‌های دیگر می‌توان به مطالعات Nalluri در سال ۱۹۹۸ اشاره کرد. وی برای حد تنهی‌نی بار بستر بر پایه داده‌های وسیعی که برای مجاری مستطیلی تحت شرایط جریان آزاد وجود داشت رابطه‌ای را پیشنهاد نمود. این رابطه، هم برای مجاری تمیز که فاقد رسوبات تنهی‌نی شده هستند کاربرد دارد می‌باشد و هم در مجاری دارای بستر رسوبات تنهی‌نی شده ثابت. این رابطه به شرح زیر است:

$$\frac{V_s}{\sqrt{g(s-1)d_{50}}} = 1.94 C_V^{0.165} \left(\frac{b}{y_0} \right)^{0.4} \left(\frac{d_{80}}{D} \right)^{-0.57} (6.6 \lambda_s^{1.49})^{0.19} \quad (1)$$

$$\lambda_s = 0.88 C_V^{0.01} \left(\frac{b}{y_0} \right)^{0.03} \lambda^{0.94} \quad (2)$$

V_s سرعت حد تنهی‌نی، $s = \rho_s / \rho$ شتاب ثقل، g چگالی ویژه‌ی رسوب، ρ جرم مخصوص آب، ρ_s جرم مخصوص رسوب، C_V غلظت حجمی رسوب در مقیاس ppm ، b عرض بستر، y_0 عمق آب، d_{50} اندازه‌ی متوسط رسوب، D قطر لوله، λ_s و λ ضریب اصطکاک دارسی و بسیاخ‌این رابطه هم برای جریان‌های رسوب‌دار و هم برای جریان‌های فاقد رسوب به کار برده می‌شود. در مجاری دایره‌ای، به جای b عرض بستر، باید $D \times 0.5$ جایگزین شود و برای مجاری مستطیلی، به جای (D) قطر مجرای دایره‌ای، پارامتر $c \times b$ جایگزین می‌شود که در آن، c یک ضریب ثابت و معادل $1/35$ می‌باشد. با استفاده از آنالیز داده‌های تجربی که نتیجه آزمایش بر روی مجاری مستطیلی با بستر نرم و زبر بود، برای عدد ثابت c ، مقدار متوسط $1/53$ را پیشنهاد داد. Ghani در سال ۱۹۹۶ با استفاده از آزمایش روی رسوبات چسبنده، در مجاری دایره‌ای با شرایط جریان آزاد، روابط زیر را ارائه نمود: برای لوله‌های دارای بستر تمیز :

$$\frac{V_s}{\sqrt{g(s_s-1)d_{50}}} = 3.08C_V^{0.21}D_{gr}^{-0.09}\left(\frac{R}{D}\right)^{0.53}\lambda_s^{-0.021} \quad (3)$$

$$\lambda_s = 1.13\lambda_0^{0.98}C_V^{0.02}D_{gr}^{0.01} \quad (4)$$

برای لوله‌های دارای بستر مواد تنهشین شده ثابت:

$$\frac{V_s}{\sqrt{g(s_s-1)d_{50}}} = 1.18C_V^{0.16}\left(\frac{wb}{y_0}\right)^{-0.18}\left(\frac{d}{D}\right)^{-0.94}\lambda_s^{-0.31} \quad (5)$$

$$\lambda_s = 0.0014C_V^{-0.04}\left(\frac{wb}{y_0}\right)^{0.34}\left(\frac{R}{D}\right)^{0.24}D_{gr}^{0.54} \quad (6)$$

V_s سرعت خودتنظیفی یا به عبارتی، سرعت غیر رسوپ گذار یا حداقل سرعتی است که در مجاہد و وجود داشته باشد تا ذرات با غلظت C_V ، نهشته نشوند. C_V غلظت حجمی رسوپ بر حسب ppm ، R شعاع هیدرولیکی، λ_s فاکتور اصطکاک برای جریان رسوپ‌دار، D قطر لوله، λ فاکتور اصطکاک برای جریان فاقد رسوپ، d قطر متوسط رسوپ، wb عرض بستر رسوپی، y عمق متوسط جریان، λ_s چگالی نسبی رسوپ، g شتاب ثقل، و D_{gr} پارامتر بی‌بعد است که نماینده‌ی اندازه ذره بوده و به شکل زیر محاسبه می‌شود:

$$D_{gr} = \left(\frac{d(G_s - 1)g}{V^2}\right)^{1/3} \quad (7)$$

تحقیق دیگری نیز توسط May در سال 2003 در زمینه نهشته‌شدن رسوپ در سیفون معکوس، انجام گرفته است. آزمایش‌های وی جهت تعیین کمترین سرعت جهت جلوگیری از نهشته‌شدن رسوپ، در شیب‌های معکوس و لوله‌های عمودی انجام شد. وی 107 آزمایش مجزا را با غلظت‌های مختلف رسوپ، و اندازه ذرات و زاویه شیب لوله انجام داد. وی دو نمونه رسوپ ماسه و شن را با اندازه‌های متوسط می‌لرزاند. آزمایش 0/78 در شیب‌های 0، 15، 22/5، 30، 37/5، 45، 60 و 90 درجه، مورد آزمایش قرار داد و روابط زیر را ارائه نمود. شیب لوله هم در شن و هم در ماسه، روی مقدار کوچک‌ترین سرعت خودتنظیفی، اثری مشابه داشت.

$$C_V = (0.0303 - 0.169 \sin \theta) \left(\frac{4}{\pi}\right) \left(\frac{d_{50}}{D}\right)^{0.6} \left(1 - \frac{\sigma V_T}{V_s}\right)^4 \left[\frac{V_s^2}{g(G_s - 1)D \cos \theta}\right]^{3/2} \quad (8)$$

$$V_T = 0.125 \sqrt{g(G_s - 1)d_{50}} \left(\frac{D}{d_{50}}\right)^{0.47} \quad (9)$$

$$\sigma = \sqrt{\frac{\{\sin \theta + \mu \cos \theta\}}{\mu}} \quad (10)$$

غلظت حجمی رسوپ بر حسب C_V ، ppm ، θ زاویه شیب لوله، d_{50} قطر متوسط ذرات رسوپ، D قطر لوله، فاکتور σ مربوط است به اثر شیب لوله، V_T سرعت متوسط آستانه حرکت ذرات رسوپ در لوله افقی، V_s سرعت خودتنظیفی، g شتاب ثقل زمین، δ چگالی ذرات رسوپ و μ ضریب اصطکاک مؤثر بین رسوپ و جدار لوله می‌باشد. ایکرز جهت طراحی لوله‌ها، مقدار 0/45 را برای این ضریب پیشنهاد نمود.

از روش‌های دیگر جلوگیری از نهشته شدن رسوب، تعیین و اعمال سرعت آستانه حرکت می‌باشد که در حقیقت می‌توان آن را حداقل سرعت غیر رسوب‌گذار سازه، برای رسوبات بستر نامید. با ایجاد این شرایط، در واقع شرایط غیر رسوب‌گذار سازه برای کلیه رسوبات فراهم می‌گردد. شفاعی بجستان در سال ۱۳۸۷ نشان داده که رابطه مربوط به سرعت آستانه حرکت را می‌توان به صورت کلی زیر نوشت:

$$\frac{V_T}{[g(G_s - 1)d_s]^{0.5}} = a \left(\frac{D}{d_s} \right)^m \quad (11)$$

که در آن V_T سرعت آستانه حرکت، G_s چگالی رسوب، d_s اندازه ذرات رسوب، g شتاب ثقل، D عمق جریان و a و m ضرایبی هستند که با استفاده از نتایج آزمایش‌های آزمایشگاهی و با شرایط جریان آزاد، به دست می‌آیند. جدول (۱) این ضرایب را نشان می‌دهد.

جدول ۱: ضرایب a و m در رابطه‌ی (۱)

توضیحات	m	a	محقق
بستر کanal	0/167	1/49	استرال (1953)
بستر کanal	0/1	1/58	نیل (1968)
بستر کanal	0/095	1/70	بوگاردی (1968)
$d_s/D < 0.1$	0	2/2	شفاعی بجستان (1990)
$d_s/D > 0.1$	0/25	1/237	شفاعی بجستان (1990)
بستر مجاري بسته‌ی مستطيلي	0/4	0/287	نالوري و قاتي (1996)
بستر مجاري بسته‌ی دايره‌اي	0/47	0/125	می (2003)

سيفون معکوس کرخه

سيفون معکوس کرخه يکی از بزرگ‌ترین سيفون‌های معکوس خاورمیانه است که از زیر رودخانه کرخه عبور می‌کند. برای آبياری اراضی آب‌خور، دشت آزادگان، پس از آب‌گيري توسط آب‌گير سمت راست سد انحرافي حميدیه و انتقال آب توسط کanal اصلی (کanal AMC) به طول ۱۴ کيلومتر، با ظرفيت ۶۵ متر مکعب بر ثانية، پس از تغذيه چند شكه آبياري و زهکشي (زمزم و قدس) در حال بهره‌برداری، به رودخانه‌ی کرخه برخورد نموده که با احداث سازه‌ی بزرگ سيفون معکوس کرخه، مقدار ۶۵ متر مکعب بر ثانية آب از سمت راست به چپ رودخانه و ابتدای دشت آزادگان انتقال می‌يابد. مشخصات هندسي سيفون به شرح زير است:

طول سيفون: 424 متر

- دبی و سرعت طراحی به ترتیب عبارتند از: 65 متر مکعب بر ثانية و 1/54 متر بر ثانية

- شبیب مقطع ورودی، میانی و خروجی به ترتیب عبارتند از: 14، 28 و 1 درصد

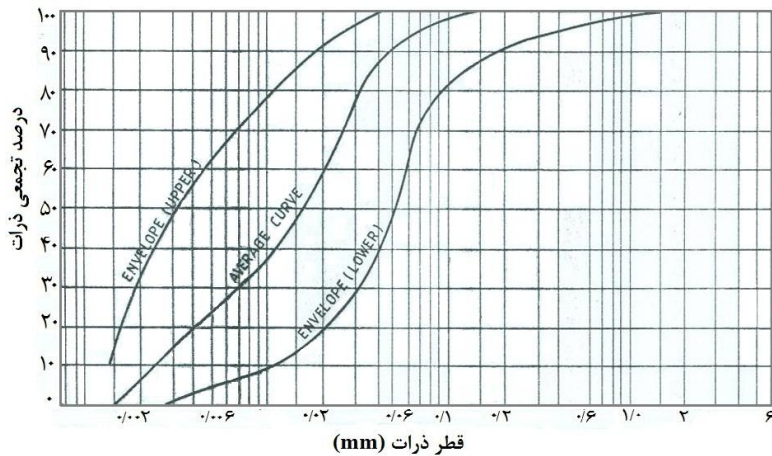
- تعداد دهانه‌ها و ابعاد آن: 3 عدد دهانه در 3/75 متر

در شکل (۱) نمایی از سيفون معکوس کرخه پس از اتمام مرحله ساخت نشان داده شده است.



شکل ۱: نمایی از سیفون معکوس کرخه پس از پایان مرحله ساخت

یکی از مسائلی که کانال‌ها و دیگر سازه‌های انتقال آب به خصوص سیفون‌های معکوس با آن مواجه هستند، مشکل ورود ذرات رسوب است که عمدترين منشاء آن، رسوبات معلقی است که همراه جریان، از محل آب‌گیرها وارد شده و در صورتی که سرعت جریان، کمتر از سرعت رسوب‌گذاری باشد منجر به تدنیشینی رسوبات و تحمل هزینه‌های سنگین لایروبی می‌گردد. هدف اصلی این تحقیق، بررسی شرایط غیر رسوب‌گذار سیفون معکوس کرخه با استفاده از مدل فیزیکی و ارائه یک گراف کاربردی بدین منظور است. برای اعمال شرایط غیر رسوب‌گذار، از تئوری آستانه حرکت استفاده شده است که مرز شرایط غیر رسوب‌گذار می‌باشد. به این صورت که آستانه حرکت رسوبات مختلف در مقطع آزمایشی، مورد بررسی قرار می‌گیرد و گراف حاصل با توجه به آن، استخراج می‌شود. منحنی به دست آمده در گراف، مرز شرایط رسوب‌گذار و غیر رسوب‌گذار را نشان خواهد داد. همچنین با توجه به گراف کاربردی به دست آمده، سرعت رسوب‌گذار برای بزرگ‌ترین ذره رسوبی با ذره رسوبی که امکان ورود به کانال بالادست و در نتیجه احتمال ورود به سیفون را دارد، تعیین خواهد شد. قطر بزرگ‌ترین ذره رسوبی با استفاده از منحنی توزیع دانه‌بندی مواد معلق رودخانه کرخه، در محل سد انحرافی حمیدیه و نیز آبگیر اصلی کانال، تعیین می‌گردد. با توجه شکل (۲) بزرگ‌ترین قطر ذره معلق، حداقل برابر $1/5$ میلی‌متر است.



شکل ۲: منحنی توزیع دانه‌بندی مواد معلق در محل ایستگاه سد انحرافی حمیدیه

تحلیل ابعادی

برای رسیدن به اهداف این تحقیق، ابتدا لازم است رابطه کلی برای مرز شرایط غیر رسوب‌گذار یا همان آستانه حرکت در سیفون معکوس، استخراج گردد. و به همین جهت از آنالیز ابعادی استفاده می‌شود. بنابراین چنان‌چه V_s سرعت جریان در آستانه حرکت باشد، می‌توان نوشت:

$$f(V_s, \rho, \rho_s - \rho, d, d_s, S, g, \mu) = 0 \quad (12)$$

که ρ جرم واحد حجم آب، $\rho_s - \rho$ جرم واحد حجم مستغرق ذره، d اندازه ضلع مجرای خروجی سیفون معکوس است که در این تحقیق $3/75$ متر می‌باشد، d_s قطر متوسط ذرات رسوب، S شیب مجرای خروجی است که در سیفون معکوس کرخه 14 درصد یعنی معادل 8 درجه می‌باشد، g شتاب ثقل زمین، μ ضریب دینامیکی آب می‌باشد. با به کار بردن تئوری باکینگهام و انتخاب سه پارامتر V_s , d_s و g به عنوان سه متغیر تکراری، رابطه (12) را می‌توان به یک رابطه بدون بعد، به صورت زیر تبدیل نمود.

$$\frac{V_s}{\sqrt{g(G_s - 1)d_s}} = f_1(d_s / d, S, R_e) \quad (13)$$

در این رابطه G_s چگالی نسبی ذرات رسوبی، d_s / d نسبت اندازه ذره به اندازه ضلع مجرای خروجی است که بیشتر به زبری نسبی معروف است و R_e عدد رینولدز ذره می‌باشد. پارامتر بی‌بعد $\frac{V_s}{\sqrt{g(G_s - 1)d_s}}$ به عدد پایداری ذره معروف است که با S_N نشان داده می‌شود. با توجه به این که در آزمایش‌های این تحقیق، عدد رینولدز ذره، بسیار بزرگ‌تر از حد بسته زبر می‌باشد، لذا به استناد مطالعات شیلدز به نقل از شفاعی بجستان در سال ۱۹۹۰، می‌توان از اثر آن صرف‌نظر کرد. ضمن این‌که شیب مقطع خروجی نیز ثابت و برابر 8 درجه است. بنابراین رابطه (13) به رابطه (14) تبدیل می‌شود:

$$S_N = f_2(d_s / d) \quad (14)$$

رابطه به دست آمده گویای این مطلب است که عدد، تابعی از زبری نسبی بوده و پارامترهای دیگر از جمله طول، تاثیری در عدد پایداری ذره نخواهند داشت. لازم به ذکر است که مقدار d در این تحقیق برابر $3/75$ متر (طلع دهانه خروجی) می‌باشد. در حقیقت زبری نسبی از تقسیم قطر ذرات بر عدد $3/75$ به دست می‌آید. رابطه (14) یک رابطه کلی بوده و برای هر سیفون معکوس دیگر به اندازه‌ای که شیب خروجی آن 8 درجه باشد، می‌تواند مورد استفاده قرار گیرد.

مواد و روش‌ها

رابطه (14) یک رابطه کلی بدون بعد، برای شرایط آستانه حرکت یا مرز شرایط غیر رسوب‌گذار در مجرای خروجی سیفون معکوس می‌باشد. برای برقراری رابطه خاص، نیاز به داده‌های آزمایشگاهی است. سیفون معکوس کرخه در بخش خروجی، شامل سه باکس مربعی است که از لحاظ شرایط هندسی و نیز شرایط جریان ورودی، کاملاً یکسان می‌باشد. از این رو مدل فیزیکی از یکی از سه مجرای خروجی سیفون معکوس کرخه و با مقیاس 25 مهیا گردید. این مدل، شامل سیستم جریان رفت و برگشتی می‌باشد. پس از عبور آب از مجرأ و

داخل شدن آن به مخزن، آب توسط مجدداً یک پمپ، به ورودی مجرأ پمپاژ شده و از آن جا به درون مجرأ هدایت می‌گردد. قبل از ورود جریان به مجرأ، میزان دبی، توسط یک شیر تنظیم که در مسیر جریان واقع شده است کنترل می‌گردد. بخش اصلی مدل، دارای سطح مقطع مربعی به ابعاد ۱۵ در ۱۵ سانتی‌متر و طول آن معادل $1/8$ متر است (همان‌طور که در بخش تحلیل ابعادی عنوان شد، طول سازه از پارامترهای موثر در عدد پایداری ذره نمی‌باشد. بنابراین طول در نظر گرفته شده برای بررسی شرایط غیر رسوب‌گذار، کافی خواهد بود). شب معکوس، ۱۴ درصد و معادل ۸ درجه می‌باشد. جنس این بخش از پلکسی گلاس به ضخامت ۱ سانتی‌متر است و یک صفحه فلزی بسیار نازک به صورت کشویی، در داخل این بخش قرار می‌گیرد. این صفحه فلزی پس از قرار گرفتن رسوب روی آن، در داخل مقطع، جای‌گزین می‌شود. هدف از این کار، تسهیل در جای‌گذاری مصالح در کف مجرأ می‌باشد. آب به وسیله‌ی پمپ به قسمت ورودی مدل، منتقل می‌شود. مقدار جریان ورودی، قبل از وارد شدن به مدل از طریق شیر تنظیم دبی، کنترل می‌شود. قبل از مجرای اصلی، یک بخش ابتدایی وجود دارد که وظیفه آرام و یک نواخت نمودن جریان و نیز هدایت آن را به بخش اصلی مدل بر عهده دارد. در انتهای مجرأ، بخش آرام‌کننده و سرریز مثلثی وجود دارد که به ترتیب وظیفه آرام‌کردن و اندازه‌گیری جریان را بر عهده دارند. حد فاصل بین بخش آرام‌کننده معکوس لازم است، تنظیم گردد. آب، پس از عبور از سرریزها، وارد مخزن می‌شود. مصالح مورد استفاده در این آزمایش‌ها، ۵ نمونه رسوب از جنس غیرچسبنده با چگالی $2/65$ به ابعاد $0.05 \times 0.07 \times 1.0$ و $3/2$ میلی‌متر می‌باشند. شکل ۳ نمایی از مدل فیزیکی را نشان می‌دهد.



(ب)



(الف)



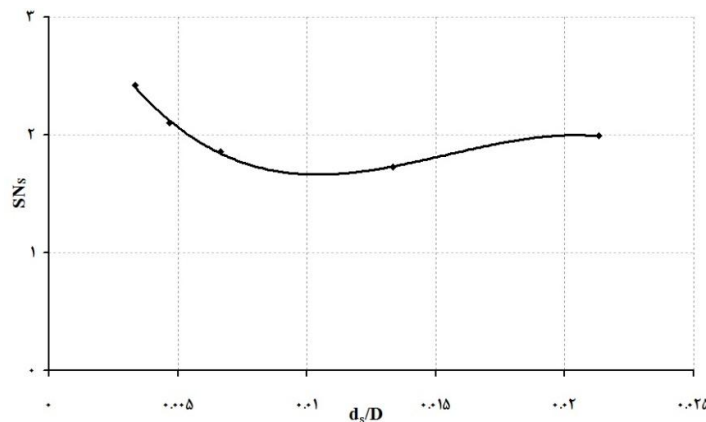
(ج)

شکل ۳: (الف) نمایی کامل از مدل فیزیکی، (ب) و (ج) مقطع اصلی مدل به ترتیب از نمای بیرون و درون
نحوه انجام آزمایش‌ها

مواد رسوی شرح داده شده در بخش قبلی، در مجرای خروجی سیفون معکوس، مورد آزمایش، قرار گرفتند. در هر آزمایش ابتدا مواد رسوی به ضخامت حدود ۱ سانتی‌متر بر روی صفحه کشویی قرار داده شد. سپس صفحه کشویی در درون مجاہ، جاسازی می‌گردید. پس از آماده‌شدن مدل، شیر قطع و وصل جریان به آرامی باز شده و سپس به وسیله شیر تنظیم، دبی آن کنترل شده و آب به آرامی وارد مدل شود. به وسیله شیر تنظیم، جریان آب به آرامی زیاد شده، سپس شرایط تا مدتی ثابت باقی می‌ماند. در این فاصله زمانی، سطح آب خروجی، کنترل و اشل سرریز، قرائت گردد. پس از این‌که آب وارد کanal انتهایی شد، به کمک دریچه تاشو، سطح آب، در مخزن خروجی در رقوم مورد، تنظیم می‌گردد. این رقوم با توجه به حداقل ارتفاع مورد نیاز حد استغراق که در طراحی خروجی سیفون معکوس و یا زیر گذر جاده، باید رعایت شود محاسبه گردید. برای جلوگیری از تغییرات شرایط جریان در مجرای خروجی سیفون معکوس و به خصوص افزایش یا کاهش سرعت، این رقوم تا پایان آزمایش، ثابت باقی نگه داشته شود. پس از این‌که شرایط تا مدتی ثابت باقی ماند، مقدار جریان ورودی، اندکی کمی زیاد شده و مراحل قبل تکرار می‌گردد تا این‌که شرایط حرکت ذرات رسوی، مشاهده شود. در این تحقیق، شروع حرکت، بدون توقف ذرات به عنوان شرایط آستانه حرکت و مرز شرایط غیر رسوی‌گذار تعریف شد (حرکات منقطع، تصادفی، نوسانی و جزئی شامل این شرایط نمی‌شوند) و سرعت متوسط مجردا در آن زمان به عنوان سرعت آستانه حرکت در نظر گرفته شد. پس از ثبت شرایط، باز هم آزمایش ادامه داده شود تا وضعیت حرکت رسوی، مورد بررسی قرار گیرد. همچنین در حین آزمایش، چند مرتبه، مقدار دبی و سطح آب بالادست، کنترل می‌گردد تا احیاناً دچار تغییر نشده باشند. پس از اتمام آزمایش، رسوی باقی مانده بر روی صفحه فلزی، خارج می‌گردد. مراحل فوق برای تمامی مصالح رسوی انجام گیرد. به این ترتیب در هر آزمایش، دامنه بسیاری از سرعت‌ها از مقدار نزدیک به صفر گرفته تا آبستنگی کامل با توجه به اشل قرائت شده، محاسبه و ثبت گردیدند.

نتایج و بحث

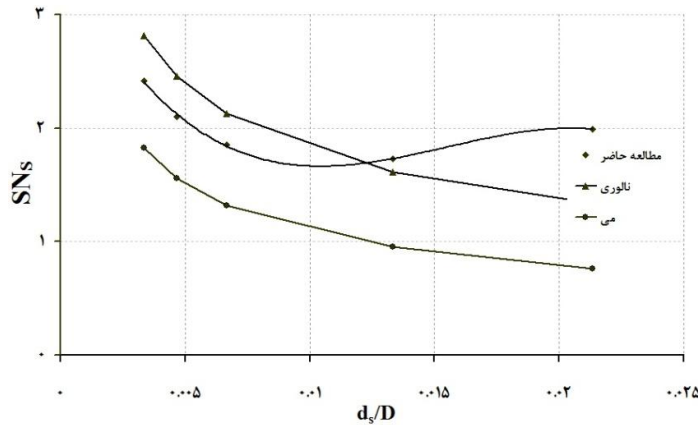
با توجه به نتایج آزمایش و رابطه (۱۴)، نمودار زیرشکل شماره (۴) استخراج گردید. نمودار استخراج شده، بی بعد می‌باشد. بنابراین علاوه بر مجرای خروجی سیفون معکوس کرخه برای کلیه سیفون‌های معکوس با مقطع مربعي که دارای شب خروجی ۱۴ درصد هستند، می‌تواند مورداستفاده قرار گیرد. در این نمودار، پارامتر S_{Ns} (پارامتر پایداری ذره) در مقابل پارامتر d_s/D (پارامتر زبری نسبی) ترسیم شده است.



شکل ۴: پارامتر پایداری ذره در مقابل زبری نسبی

همان طور که ملاحظه می‌گردد، پارامتر پایداری ذره، در شرایط آستانه حرکت، با افزایش پارامتر زبری نسبی، ابتدا کاهش یافته و سپس اندکی متمایل به افزایش دیده می‌شود. منحنی نشان داده شده، مرز شرایط رسوب‌گذاری را در سیفون معکوس کرخه را مشخص می‌نماید. اگر به نحوی که اگر محل تلاقی دو پارامتر پایداری ذره و زبری نسبی در زیر این منحنی واقع شوند، نهشته‌شدن رسوب اتفاق خواهد افتاد. اگر محل تلاقی دو پارامتر مذکور در بالای منحنی واقع شوند، رسوب‌گذاری اتفاق نیفتاده و شرایط غیر رسوب‌گذار در سیفون، حاکم خواهد شد.

با توجه به گراف حداقل سرعت غیر رسوب‌گذار برای ذره‌ای به قطر $1/5$ میلی‌متر (بزرگ‌ترین ذره رسوب معلق که به طور طبیعی احتمال ورود به سیفون را دارد)، برابر $0/52$ متر بر ثانیه می‌باشد. با توجه به این که سرعت طراحی، برابر $1/54$ متر بر ثانیه است امکان نهشته‌شدن ذراتی با قطر $1/5$ میلی‌متر و کمتر از آن وجود ندارد. در صورتی که سرعت در سیفون به حدود 34 درصد سرعت طراحی برسد، خطر نهشته‌شدن و در نتیجه، گرفتگی سیفون وجود خواهد داشت. علاوه بر رسوبات معلقی که از بالادست وارد سازه می‌شوند، رسوبات دیگری نیز وجود دارند که امکان ورود آنها به سیفون و جامکان پذیر است. به عنوان مثال، ذراتی که همراه باد جابجا می‌شوند و یا از خاک ریزهای کنار کanal کنده شده و همراه جریان حمل می‌شوند، امکان تنهشینی در سازه را داشته و با استفاده از گراف، قابل بررسی می‌باشند. در شکل(5) نتایج حاصل از این تحقیق با نتایج حاصل از روابط تجربی نالوری و می (با استفاده از رابطه ۱۱ و جدول ۱) مقایسه شده است.



شکل ۵: مقایسه نتایج این تحقیق با نتایج حاصل از روابط تجربی نالوری و می

همان طور که در شکل مشاهده می‌شود در روند کاهشی ابتدایی این تحقیق و دو تحقیق دیگر شباهت بسیاری وجود دارد. اما در تحقیق حاضر، روند کاهشی در زبری نسبی $0/01$ متوقف شده و منحنی، روند افزایشی را طی می‌کند. از جمله دلایل اصلی این اختلاف، تعاریف متفاوت شرایط جریان و شرایط آزمایش می‌باشد. زیرا که مقطع آزمایش، در دو تحقیق می و نالوری در حالت افقی قرار داشتند، در حالی- که در این تحقیق، مقطع آزمایش، در وضعیت شیب معکوس 8 درجه قرار داشته است. همچنین جزء اصلی پارامتر پایداری که سرعت بحرانی آستانه‌ی حرکت یا حداقل سرعت غیر رسوب‌گذار است، در بین دانشمندان مختلف، تعریف کاملاً یکسانی نداشته و بنابراین، نتایج گرافها و روابط به دست آمده توسط محققین مختلف، متفاوت خواهد بود.

نتیجه‌گیری

گراف استخراج شده در این تحقیق، کاملاً کاربردی بوده و جهت بررسی شرایط رسوب‌گذاری سیفون معکوس کرخه در خصوص ذرات رسوبی با اندازه‌های مختلف در سرعت‌های مختلف می‌تواند مورد استفاده قرار گیرد. در دبی و سرعت طراحی، نتایج تحقیق، حاکی از حاکم بودن شرایط غیر رسوب‌گذار در سیفون‌معکوس کرخه می‌باشد. ضمن این‌که با توجه به گراف، می‌توان اندازه ذره‌ی رسوبی که سیفون معکوس کرخه در مرز رسوب‌گذاری و وضعیت بحرانی قرار می‌دهد، را محاسبه و در طراحی شبکه آشغال‌گیر سیفون، از آن استفاده نمود.

سپاسگزاری

این مطالعه با حمایت مالی سازمان آب و برق خوزستان انجام گردید و نویسنده‌گان از این بابت تشکر و قدردانی خود را اعلام می‌دارند.

منابع

- شفاعی بجستان، م. (1387). مبانی نظری و عملی هیدرولیک انتقال رسوب. انتشارات دانشگاه شهید چمران اهواز. ویرایش دوم.
- سازمان آب و برق خوزستان. (1383). طرح شبکه‌ی آبیاری و زهکشی دشت‌های پای‌پل. مطالعات مرحله‌ی دوم. جلد پنجم. گزارش سیمای طرح.
- سازمان آب و برق خوزستان. (1371). طرح آبیاری و زهکشی کرخه. مطالعات مرحله‌ی اول. گزارش هیدرولوژی.
- May, R.W.P. (2003). preventing sediment deposition in inverted sewer siphons. Journal of Hydraulic Engineering. ASCE. April, pp. 283-290.
- May, R.W.P. Ackers, C.J. Butler, D. and John s. (1996). Development of design methodology for self-cleansing. wat. sci. tech. vol 33. No 9, pp. 195–205.
- Nalluri, C., Ghani, A.b. (1996). Design options for Self-cleansing storm sewers. wat. sci. tech. vol 33. No 9, pp. 215–220.
- Nalluri, C. Spaliviero, P. (1998). Suspended sediment transport in rigid boundary channels at limit deposition. wat. sci. tech. vol 37. No 1, pp. 147–154.
- Shafai Bejestan, M. (1990). Critical stability number in rock lined channels. Iran Agricultural Research. vol 9. Shiraz university, pp. 121-138.